

# Perturbações Incoerentes

Na aula anterior vimos que em presença de uma perturbação eletromagnética monocromática (i.e. coerente) por uma única frequência  $\omega$  a probabilidade de transição entre 2 estados discretos é

$$P_{if}(t, \omega) = \frac{|V_{fi}|^2}{\hbar^2} \frac{\text{sen}^2[(\omega_{fi} - \omega)t/2]}{(\omega_{fi} - \omega)^2}$$

onde

$$V_{fi} = \langle \psi_f | V_{\text{del}} | \psi_i \rangle = -q E_0 \langle \psi_f | Z | \psi_i \rangle$$

$$\equiv -d E_0$$

e definimos

$$d = q \langle \psi_f | Z | \psi_i \rangle$$

(ou em geral,  $\vec{d} = q \langle \psi_f | \vec{r} | \psi_i \rangle$ ).

Se escrevermos

$$|V_{fi}|^2 = |d|^2 E_0^2$$

e lembrarmos que a densidade de energia corrigida por uma onda eletromagnética é dada por

$$u = \frac{1}{8\pi} E_0^2$$

Vemos que de fato a probabilidade de transição é proporcional à densidade de energia eletromagnética:

Vemos que

$$P_{if}(t, \omega) = \frac{8\pi \mu}{\hbar^2} |d|^2 \frac{\sin^2[(\omega_f - \omega)t/2]}{(\omega_f - \omega)^2}$$

Mas na prática a radiação que incide num átomo muitas vezes não é monocromática.

Se em geral, substituímos

$$\mu = \mu(\omega) \longrightarrow \rho(\omega) d\omega$$

onde  $\rho(\omega) d\omega$  é a densidade de energia eletromagnética incidente no intervalo de frequências

$$[\omega, \omega + d\omega]$$

temos que a probabilidade de transição com função do tempo é agora:

$$P_{if}(t) = \frac{8\pi |d|^2}{\hbar^2} \int_0^{\infty} \rho(\omega) \frac{\sin^2[(\omega_f - \omega)t/2]}{(\omega_f - \omega)^2} d\omega$$

A razão pela qual "formamos" os diferentes componentes na integral acima é porque estamos assumindo que elas são incoerentes, i.e. não existe entre elas uma relação de fase bem definida. Em geral, a distribuição  $\rho(\omega)$  está caracterizada por uma largura  $\Delta$  arredor da qual se concentram as contribuições. Se  $\Delta \rightarrow \infty$  obtemos um espectro branco. Independentemente do valor de  $\Delta$ , a largura da probabilidade para cada

componente  $\omega$ , i.e. a largura de

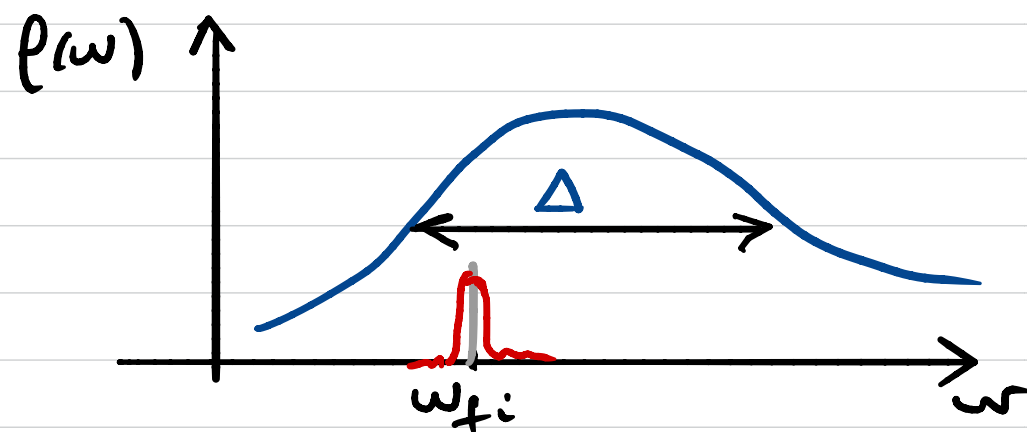
$$F(t, \omega_{fi} - \omega) = \frac{\sin^2[(\omega_{fi} - \omega)t/2]}{(\omega_{fi} - \omega)^2/4}$$

VAi como

$$\frac{4\pi}{t}$$

Para tempos suficiente mente grandes teremos

$$\Delta \gg \frac{4\pi}{t}$$



$$\Rightarrow F(t, \omega_{fi} - \omega) \approx 2\pi t \delta(\omega_{fi} - \omega)$$

enfocando  $P(\omega)$  varia relativamente muito mais devagar em  $\omega$ . Então obtemos

$$P_{if}(t) = \frac{4\pi^2 |d|^2}{t^2} P(\omega_{fi}) t$$

$\Rightarrow$  a probabilidade de transição por unidade de tempo

ou razão de transição, é

$$W_{if} = \frac{4\pi^2}{\hbar^2} |\mathbf{d}|^2 P(\omega_{fi})$$

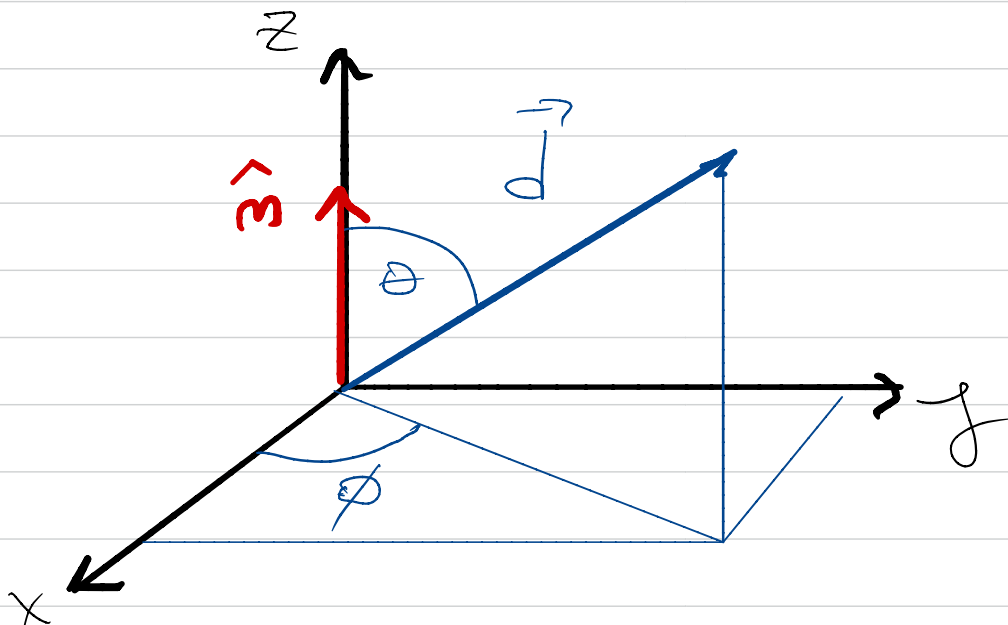
a qual é constante.

A expressão acima se limita a dar a razão de transição assumindo que a radiação tem uma polarização bem definida. No nosso caso, assumimos propagação na direção  $\hat{\mathbf{j}}$ , ou polarização do campo elétrico na direção  $\hat{\mathbf{z}}$ .

Mas no caso mais geral, no qual a radiação se propaga em todas direções (radiação não-polarizada) uniformemente, precisamos calcular o valor médio do vetor dipolo elétrico.

$$\vec{d} = q \langle t_f | \vec{r} | t_i \rangle$$

$\Rightarrow$  projetamos  $\vec{d} \cdot \hat{\mathbf{m}}$  na direção  $\hat{\mathbf{m}}$  e integramos os ângulos que definem  $\hat{\mathbf{m}}$



O valor médio de  $|\vec{d} \cdot \hat{m}|^2$  corresponde a integrar o ângulo sólido  $d\Omega$ :

$$\begin{aligned} \left( |\vec{d} \cdot \hat{m}|^2 \right)_{\text{valor médio}} &= \frac{1}{4\pi} \int d^2 \cos^2 \theta \, d\Omega \\ &= \frac{d^2}{4\pi} \int_0^\pi \int_0^{2\pi} \cos^2 \theta \, \sin \theta \, d\theta \, d\phi \\ &= \frac{d^2}{4\pi} \int_{-1}^1 \int_0^{2\pi} \cos^2 \theta \, (-d\cos \theta) \, d\phi \\ &= \frac{d^2}{4\pi} 2\pi \left[ \frac{\cos^3 \theta}{3} \right]_{-1}^1 = \frac{d^2}{3} \end{aligned}$$

$$W_{if} = \frac{4\pi^2}{3\hbar^2} d^2 P(\omega_{fi})$$

O que corresponde à razão de transição tanto da absorção como de emissão estimou a cada de radiação incoerente e uniformemente não polarizada.

# Coefficientes de Einstein

Se considerarmos um sistema de dois níveis discretos  $|4_1\rangle$  e  $|4_2\rangle$  com  $E_1 < E_2$ , e prepararmos  $N_1$  átomos em  $|4_1\rangle$  e  $N_2$  átomos em  $|4_2\rangle$ .

Se agora definirmos a razão de absorção

$$R_{12} = B_{12} \rho(\omega_{21})$$

onde  $\omega_{21} = \frac{E_2 - E_1}{\hbar}$ , vemos que

$$B_{12} = \frac{4\pi^2 d^2}{3\hbar^2}$$

Da mesma forma, a razão de emissão estimulada é

$$R_{21} = B_{21} \rho(\omega_{21})$$

onde claramente (como já sabemos)

$$B_{21} = B_{12}$$

devido que as razões de absorção e de emissão estimulada são iguais.

Finalmente, definimos a razão de emissão espontânea  $A$ .

Se agora quisermos obter a derivada temporal do nº de átomos em  $|4_2\rangle$ ,  $N_2$ , temos

$$\frac{dN_2}{dt} = -N_2 A - N_2 B_{21} \rho(\omega_{21}) + N_1 B_{12} \rho(\omega_{21})$$

os primeiros dos termos são negativos porque correspondem à emissão espontânea e estimulada, respectivamente (perdas de  $N_2$ ).

O último termo corresponde a ótomos em  $|4,1\rangle \rightarrow |4,2\rangle$  por absorção.

Se agora assumirmos que os átomos estão em equilíbrio térmico com o campo (ou campos) eletromagnético, então o número de átomos em cada nível deve ser constante no tempo.

Em particular

$$\frac{dN_2}{dt} = 0 \Rightarrow N_2 A + N_2 B_{21} \rho(\omega_{21}) = N_1 B_{12} \rho(\omega_{21})$$

$$\text{ou } N_2 A = \rho(\omega_{21}) (N_1 B_{12} - N_2 B_{21})$$

$$\Rightarrow \rho(\omega_{21}) = \frac{A}{\frac{N_1}{N_2} B_{12} - B_{21}}$$

Por outra parte, sabemos que em equilíbrio termodinâmico o número de partículas de um

cada tipo deve ser proporcional ao fator de Boltzmann

$$N \propto e^{-E/k_B T}$$

onde  $E$  é a energia,  $T$  a temperatura em equilíbrio e  $k_B$  a constante de Boltzmann. Então temos que

$$\frac{N_1}{N_2} = \frac{e^{-E_1/k_B T}}{e^{-E_2/k_B T}} = e^{(E_2 - E_1)/k_B T}$$

$$\Rightarrow \boxed{\frac{N_1}{N_2} = e^{h\nu_{21}/k_B T}}$$

ou

$$\rho(\omega_{21}) = \frac{A}{e^{h\nu_{21}/k_B T} B_{12} - D_{21}}$$

Finalmente, se comparamos esta expressão com a densidade de energia térmica para o corpo negro

$$\rho(\omega) = \frac{h}{\pi^2 c^3} \frac{\omega^3}{e^{h\nu/k_B T} - 1}$$



Vemos que para que sejam compatíveis precisamos que

$$B_{21} = B_{12} \quad (\text{ok, já sabemos})$$

MAS também que

$$A = \frac{\omega_{21}^3 \hbar}{\pi^2 c^3} B_{21}$$

O que fixa a razão de emissão espontânea a partir da razão de absorção ou de emissão estimulada.

$$\Rightarrow A = \frac{4}{3} \frac{\omega_{21}^3}{\hbar c^3} d^2$$

Esse é um resultado notável, dado que a emissão espontânea é um fenômeno que aparece como consequência da quantização do campo eletromagnético (QED). MAS aqui derivamos  $A$  de argumentos puramente termodinâmicos.

## Emissão Espontânea vs. Estimulada

Se os átomos estão em equilíbrio térmico com a radiação a uma temperatura  $T$ , então existirá uma concorrência entre os dois mecanismos de emissão.

Por um lado a emissão espontânea está sempre presente. Mas na presença de radiação em equilíbrio térmico (corpo negro) também teremos emissão estimulada por esta radiação, cuja densidade de energia é

$$\rho(\omega) = \frac{\hbar}{\pi^2 c^3} \frac{\omega^3}{e^{\hbar\omega/k_B T} - 1}$$

Queremos comparar as razões de emissão espontânea e estimulada para uma dada temperatura  $T$ . Temos que a taxa de emissão espontânea é

$$A = \frac{4}{3} \frac{\omega_{21}^3}{\hbar c^3} d^2$$

entanto que a taxa de emissão estimulada é

$$\begin{aligned} R_E &= B_{21} \rho(\omega_{21}) \\ &= \frac{4\pi^2}{3\hbar^2} d^2 \rho(\omega_{21}) \end{aligned}$$

onde  $\rho(\omega_{21})$  é a correspondente e equilíbrio térmico dada acima.

A razão entre eles é

$$\frac{A}{R_E} = e^{\frac{h\nu}{k_B T}} - 1$$

Vemos que para temperaturas muito altas  $\frac{A}{R_E} \rightarrow 0$  e a emissão estimulada domina, tal como esperado.

Entanto que para  $T \rightarrow 0$  a razão é dominado pela emissão espontânea  $A$ .

Para  $T$  fixa, mas variando a frequência  $\omega$  da radiação, vemos que para frequências baixas emissão estimulada domina, entanto que para frequências altas a razão indica a dominância da emissão espontânea.

A frequência de transição é obtida a partir de

$$\frac{A}{R_E} = 1 = e^{\frac{h\nu_0}{k_B T}} - 1$$

$$\Rightarrow \frac{h\nu_0}{k_B T} = \ln 2$$

$$\Rightarrow \boxed{\nu_0 = \frac{k_B T}{h} \ln 2}$$

MAS AQUI É A FREQUÊNCIA ANGULAR. PARA OBTER A FREQUÊNCIA DA RADIAÇÃO

$$\nu_0 = \frac{\omega_0}{2\pi} = \frac{k_B T}{h} \text{ Hz}$$

Por exemplo, para  $T = 300 \text{ K}$  e usando

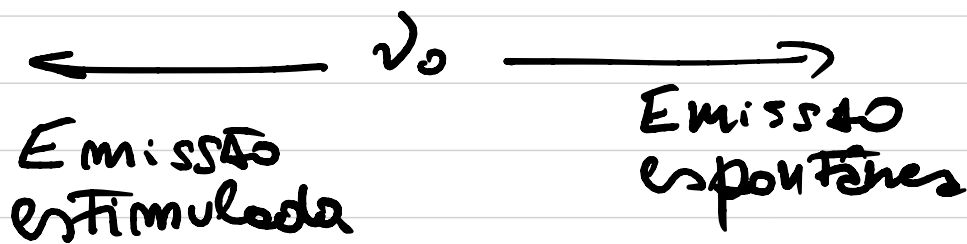
$$k_B = 1.4 \cdot 10^{-23} \text{ J/K}$$

e

$$h = 6.63 \cdot 10^{-34} \text{ J}\cdot\text{s}$$

$$\Rightarrow \nu_0 = \frac{1.4 \cdot 10^{-23} \times 300}{6.63 \cdot 10^{-34}} \approx 0.69 \frac{1}{\text{s}}$$

$$\nu_0 = 0.44 \cdot 10^{13} \text{ Hz}$$



E.g.: luz visível  $\approx 10^{14} \text{ Hz}$   
 $\Rightarrow$  emissão espontânea domina

# Decaimento de um Estado Excitado

Se considerarmos um número de átomos  $N$  num estado excitado, eles decaem espontaneamente com uma velocidade dada por  $A$  tal que

$$\frac{dN}{dt} = -AN$$

$$\Rightarrow N(t) = N(0) e^{-At}$$

$\Rightarrow$  a ocupação do estado excitado decai exponencialmente de acordo com

$$N(t) = N(0) e^{-t/\tau}$$

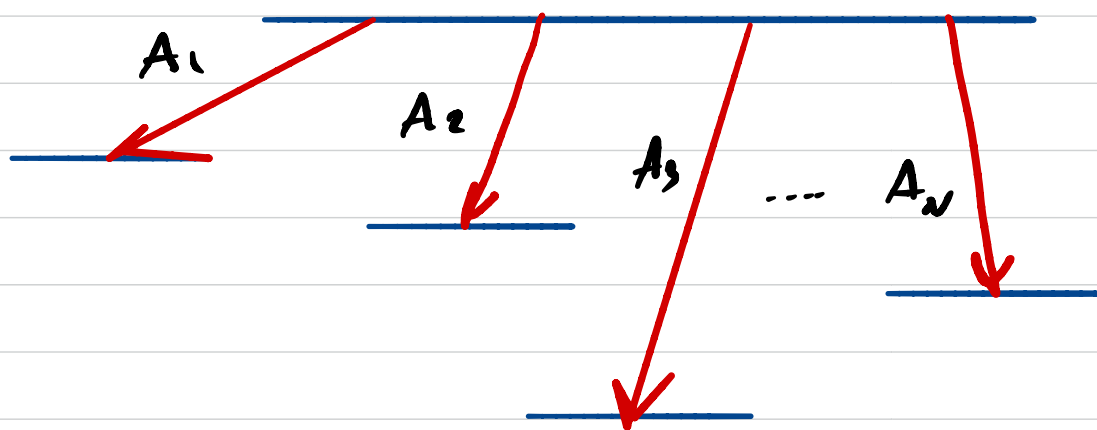
onde definiremos o tempo característico de decaimento

$$\tau = \frac{1}{A}$$

$\tau$  é o tempo no qual o número de ocupação do estado excitado diminui por um fator

$$e \approx 0.37$$

Em geral, é possível que um dado estado excitado decaia em vários outros estados. Cada uma das transições espontâneas tem a sua razão de transição de estados excitados inicial a um dos possíveis estados finais de menor energia



$$\Rightarrow \frac{dN}{dt} = (-A_1 N - A_2 N - A_3 N + \dots)$$

$$\Rightarrow N(t) = N(0) e^{-(A_1 + \dots + A_n)t}$$

or

$$\tau = \frac{1}{A_1 + A_2 + \dots + A_n}$$

## Exemplo: Decaimento do primeiro Estado Excitado do Hidrogênio

Queremos calcular o tempo  $\tau$  de decaimento dos estados  $n=2$  para  $n=1$ . Para isso precisamos obter

$$\vec{d} = q \langle 100 | \vec{r} | 2lm \rangle$$

onde  $|2lm\rangle = \{|200\rangle, |210\rangle, |21\pm 1\rangle\}$

$\Rightarrow$  4 estados em  $n=2$ .

Vamos precisar

$$\psi_{100} = \frac{1}{\sqrt{\pi a^3}} e^{-r/a} \quad ; \quad \psi_{200} = \frac{1}{\sqrt{8\pi a^3}} \left(1 - \frac{r}{2a}\right) e^{-r/2a}$$

$$\psi_{210} = \frac{1}{\sqrt{32\pi a^3}} \frac{r}{a} e^{-r/2a} \cos\theta$$

$$\psi_{21\pm 1} = \mp \frac{1}{\sqrt{64\pi a^3}} \frac{r}{a} e^{-r/2a} \sin\theta e^{\pm i\phi}$$

Notando que  $z = r \cos\theta$  e

$$x = r \sin\theta \cos\phi \quad e \quad y = r \sin\theta \sin\phi$$

Vemos que os regras de seleção resultam em vários valores nulos.

$$|2lm\rangle \rightarrow |100\rangle$$

$$\rightarrow \langle 2lm | Z | 100 \rangle \neq 0 \text{ só se } \Delta l = \pm 1 \\ \text{e } \Delta m = 0 \\ \Rightarrow l=1, m=0$$

$$\Rightarrow \langle 210 | Z | 100 \rangle \neq 0$$

$$\text{entanto que } \langle 200 | Z | 100 \rangle = 0$$

Para  $x$  e  $y$  temos que  $\Delta l = \pm 1$  e  $\Delta m = \pm 1$   
 $\Rightarrow$  os elementos de matriz não nulos são

$$\langle 21\pm 1 | x \pm iy | 100 \rangle \neq 0$$

Essas são as contribuições não nulas a  $\vec{J}$ .  
Vamos começar por

$$\langle 210 | Z | 100 \rangle = \frac{1}{\sqrt{\pi a^3}} \frac{1}{\sqrt{32\pi a^3}} \frac{1}{a} \times$$

$$\int e^{-r/a} e^{-r/2a} r \cos\theta z d^3r$$

$$\text{MAS } z = r \cos\theta, \quad \longrightarrow$$



$$\begin{aligned}
\langle 210 | Z | 100 \rangle &= \frac{1}{4\sqrt{2}\pi a^4} \int e^{-3r/2a} r^2 \cos^2\theta r^2 \sin\theta dr d\theta d\phi \\
&= \frac{2\pi}{4\sqrt{2}\pi a^4} \int_0^\infty e^{-3r/2a} r^4 dr \int_0^\pi \cos^2\theta \sin\theta d\theta \\
&= \frac{1}{2\sqrt{2}a^4} \left[ \frac{\cos^3\theta}{3} \right]_{-1}^1 \int_0^\infty r^4 e^{-3r/2a} dr \\
&= \frac{1}{3\sqrt{2}a^4} 4! \left( \frac{2a}{3} \right)^5 = \frac{2^8}{3^5\sqrt{2}} a
\end{aligned}$$

$$\Rightarrow \langle 210 | Z | 100 \rangle = \frac{2^8}{3^5\sqrt{2}} a$$

Analogamente, podemos calcular

$$\langle 21 \pm 1 | x | 100 \rangle = \mp \frac{2^7}{3^5} a$$

$$e \langle 21 \pm 1 | y | 100 \rangle = -i \frac{2^7}{3^5} a$$

onde usamos que

$$r \sin\theta e^{\pm i\phi} = x \pm iy$$

Então vemos que, dado que para a transição  
 $|200\rangle \rightarrow |100\rangle \quad \vec{d} = 0 \quad (\Rightarrow A = 0)$

$\Rightarrow \chi_{200 \rightarrow 100} = 0$  (metaestável)

Então que para  $|210\rangle \rightarrow |100\rangle$   
temos

$$\langle 210 | \vec{r} | 100 \rangle = \frac{2^7 \sqrt{2}}{3^5} a \hat{z}$$

e

$$\langle 21 \pm 1 | \vec{r} | 100 \rangle = \frac{2^7}{3^5} a \left( \mp \hat{x} - i \hat{y} \right)$$

$$\Rightarrow |\vec{d}|^2 = q^2 a^2 \frac{2^{14}}{3^{10}} \quad \underline{\text{para os duas transições}}$$

Então lembrando que

$$\left\{ A = \frac{4\omega_{fi}^3}{3} \frac{|\vec{d}|^2}{\hbar c^3} \right\}$$

e que

$$\omega_{fi} = \frac{E_2 - E_1}{\hbar} = \frac{E_1}{\hbar} \left( \frac{1}{4} - 1 \right)$$

$$\Rightarrow \left\{ \omega_{fi} = -\frac{3}{4} \frac{E_1}{\hbar} \right\}$$

Substituiert in der Formel

$$A = -\frac{4}{3} \frac{3^3}{4^3} \frac{E_1^3}{\hbar^3} \frac{e^2 a^2 2^{15}}{3^{10}} \frac{1}{\hbar c^3}$$

weil

$$E_1 = -\frac{m e^4}{2 \hbar^2} \quad \text{und} \quad a = \frac{\hbar^2}{m e^2}$$

erhalten

$$A = \frac{2^{10}}{3^8} \frac{E_1^2}{m^2 c^4} \frac{c}{a}$$

mit  $E_1 = -13.6 \text{ eV}$ ,  $m c^2 = 511 \times 10^3 \text{ eV}$

und  $a = 0.53 \cdot 10^{-10} \text{ m}$

$$A = 6.3 \cdot 10^8 \frac{1}{\text{s}} \quad \text{oder}$$

$$\tau_{2 \rightarrow 1} = 1.6 \cdot 10^{-9} \text{ s}$$